

МЕТОДЫ ИЗУЧЕНИЯ  
ФИЗИКО-ХИМИЧЕСКИХ СИСТЕМ

МОРФОЛОГИЯ НАНОСТРУКТУР ФТАЛОЦИАНИНА  
ЛОКАЛИЗОВАННЫХ В СТРУКТУРЕ ЛАТЕКСНОГО ПОЛИМЕРА

© 2023 г. Т. Р. Асламазова<sup>a</sup>, \*, В. А. Котенев<sup>a</sup>, А. Ю. Цивадзе<sup>a</sup>

<sup>a</sup>Федеральное государственное бюджетное учреждение науки,  
Институт физической химии и электрохимии имени А.Н. Фрумкина РАН,  
Ленинский пр., 31, Москва, 119071 Россия

\*e-mail: sovet1@phyche.ac.ru

Поступила в редакцию 12.04.2023 г.

После доработки 22.06.2023 г.

Принята к публикации 29.06.2023 г.

Проведен анализ морфологии наноструктуры ионного карбоксилсодержащего фталоцианина и тетранатриевой соли Cu(II)-фталоцианин-тетрасульфониевой кислоты в структуре латексных полимеров с привлечением оптических и квазиоптических методов: оптической микроскопии, атомно-силовой микроскопии (АСМ), флюоресцентной и Раман-спектропротокопии. Проанализировано многообразие форм и размеров наноструктур фталоцианинов, локализованных в межчастичном пространстве латексных полимеров, что обуславливает различие в их фотохимических свойствах.

**Ключевые слова:** морфология, агрегация, водорастворимые фталоцианины, латексный полимер, наноструктура, наночастица

**DOI:** 10.31857/S0044185623700699, **EDN:** PPQMOE

ВВЕДЕНИЕ

Интерес к наноматериалам и особенно наночастицам обусловлен их улучшенными физическими и химическими свойствами по сравнению с традиционными материалами. Эти необычные свойства создали множество инновационных применений в областях медицины и фармацевтики, электроники, сельского хозяйства, химического катализа, пищевой промышленности и др. [1–6].

Новые механические, тепловые, магнитные, электронные, оптические и каталитические и др. свойства [1, 2] наноматериалов основаны на отличии их поведения от материалов больших размеров благодаря поверхностным и квантовым эффектам.

Поверхностные эффекты обусловлены главным образом очень большой площадью поверхности и большим количеством частиц на единицу массы; увеличению доли атомов на поверхности в наноматериалах; меньшим контактом атомов, расположенных на поверхности в наноматериалах. В результате каждого из этих различий химические и физические свойства наноматериалов меняются по сравнению с их аналогами большего размера.

Большие площади поверхности и большее отношение поверхности к объему обычно повышают реакционную способность наноматериалов из-за большей реакционной поверхности, а также

приводят к значительному влиянию свойств поверхности на их структуру [1–4]. Дисперсность наноматериалов является ключевым фактором для поверхностных эффектов.

Наноматериалы проявляют различные свойства, зависящие от размера, в диапазоне 1–100 нм, где задействованы квантовые явления. Когда радиус материала приближается к асимптотическому экситонному радиусу Бора (расстояние между электроном и дыркой), влияние квантового ограничения становится очевидным [5].

Другими словами, при уменьшении размера материала квантовые эффекты становятся более выраженным, а наноматериалы – квантовыми. Эти квантовые структуры представляют собой физические структуры, в которых все носители заряда (электроны и дырки) ограничены физическими размерами.

Морфологические и топографические особенности наночастиц представляют особый интерес, поскольку они влияют на большинство свойств наночастиц, описанных выше. Эти характеристики включают размер, форму, дисперсность, локализацию, агломерацию/агрегацию, морфологию поверхности, площадь поверхности и пористость наночастиц [7].

Интерес к формированию наночастиц водорастворимых фталоцианинов, как в водной фазе, так и в полимерном объеме, вызван возможностью

стью модификации латексных акриловых пленкообразующих полимеров уже на стадии приготовления композиционного полимера, а также преимуществами самих водоразбавляемых полимеров по сравнению органорастворимыми аналогами [8, 9].

Известно о возможности получения наноматериалов для лакокрасочных материалов (ЛКМ) двумя способами: введением заранее полученных наночастиц [10, 11] или синтезом наночастиц непосредственно в ЛКМ. Это определяет при приготовлении наноЛКМ затруднения равномерного распределение наночастиц в объеме ЛКМ [7]: сложностью сохранения размеров наночастиц, поскольку из-за высокой поверхностной энергии они интенсивно агрегируются; высокой стоимостью, обусловленной энергозатратами на получение наночастиц. Несмотря на перечисленные недостатки, большую часть наноЛКМ ныне изготавливают именно так. Второй способ получения наноЛКМ – “золь–гель технология” – лишен описанных пороков. Эта технология заключается в синтезе наночастиц непосредственно в ЛКМ путем превращения молекул неких веществ, называемых прекурсорами и вводимых в ЛКМ, сначала в “золь”, а затем в “гель”. Наночастицы, образующиеся при использовании золь–гель технологии, дешевле тех, которые получают измельчением твердых тел.

В отличие от перечисленных выше способов формирования нано-ЛКМ посредством введения водорасторимых фталоцианиновых соединений в водно-полимерную дисперсию позволяет исключить какие-либо отрицательные эффекты. Как показано в работе, посвященной модификации латексных акриловых полимеров водорасторимыми фталоцианинами, при этом имеется возможность придания им уникальных оптических и фотохимических свойств, что создает предпосылки для их широкого практического применения [12, 13].

Следует отметить, что фталоцианины представляют собой макрогетероциклические ароматические соединения, структурно родственные порфиринаам, которые способны образовывать прочные комплексы с большинством металлов Периодической системы [14–16].

Введение заместителей в бензольные кольца лигандов позволяет разнообразить свойства получаемых комплексов. Так, введение карбокси- или сульфо-заместителей в молекулы фталоцианинов позволяет получать водорасторимые соединения и применять их в качестве сенсибилизаторов для фотодинамической терапии онкологических заболеваний [15, 16]. Такие разработки возможны благодаря способности некоторых производных фталоцианинов избирательно накапливаться в раковых клетках, а также люминесцировать с вы-

сокими квантовыми выходами и большими временами жизни возбужденного состояния и способствовать генерации синглетного кислорода [15].

Известно [17–20], что сульфированные фталоцианиновые комплексы с металлами часто образуют димеры или более высокие агрегаты в растворах. Агрегацию в этих комплексах характеризовали с привлечением данных ЭСП-спектроскопии. Фталоцианины агрегируют благодаря электронному π–π взаимодействию между макрокольцами двух или более молекул с образованием *H*- и *J*-агрегатов. Образование *H*-агрегатов приводит к снижению времени возбужденного состояния комплексов МФт, главным образом, благодаря дисипации необлученного возбужденного состояния [15] и поэтому более низкому квантовому выходу возбужденных состояний и образования синглетного кислорода. Степень сульфирования, изомерное состояние и природа центрального иона металла влияет на степень агрегации.

Известно, что фталоцианиновые соединения в растворе агрегируют благодаря электронному взаимодействию между кольцами двух и более молекул. Образуемые при этом *J*-агрегаты, для которых электронное возбуждение при поглощении фотона оказывается делокализованным на десятки упорядоченных мономерных звеньев, отвечают за люминесцентные свойства системы и описываются сдвигнутой в красную область полосой около 750 нм, тогда как сдвигнутая в голубую область полоса 630 нм приписывается *H*-агрегатам [20].

В настоящей работе с учетом результатов ранее проведенных исследований анализируется морфологияnanoструктуры агрегатов ионного 2,3,9,10,16,17,23,24-окта[(3,5-бискарбокси)-фенокси]фталоцианина и тетранатриевой соли медь (II)-фталоцианин-тетрасульфониевой кислоты при локализации в латексных акриловых пленкообразующих полимерах. Исследование предпринято с целью выяснения и сопоставления особенностей образующихся nanoструктур, которые могут проявляться в размере, форме, дисперсности, локализации, агрегации, морфологии поверхности, площади поверхности и пористости наночастиц, что определяет обнаруживаемое различие в оптической активности исследованных фталоцианинов и материалов с их участием.

## ЭКСПЕРИМЕНТАЛЬНАЯ ЧАСТЬ

В работе исследовали водорасторимые фталоцианины: карбоксилодержащий 2,3,9,10,16,17,23,24-окта[(3,5-бискарбокси)-фенокси]фталоцианин  $C_{88}H_{42}N_8Na_8O_{24}$  (ВДФ) и тетранатриевая соль медь(II)-фталоцианин-тетрасульфониевой кислоты (тетранатриевая соль медь-фталоцианин-3,4<sup>4//</sup>,4<sup>4//</sup>–тетрасульфониевой кислоты) (СиВДФ).

ВДФ синтезировали по методике, описанной в работе [21]. СиВДФ является готовым продуктом, выпускаемым фирмой Sigma-Aldrich.

В качестве пленкообразующих латексных полимеров, различающихся мономерным составом (метилметакрилат ММА, бутилакрилат БА, метакрилат МА, метакриловая кислота МАК/акриловая кислота АК и стирол), использовали:  $A_1$  (Ст–БА–МАК),  $A_2$  (ММА–БА–МАК),  $A_3$  (микрогетерогенный латексный полимер Ст–ММА–МА–АК), характеризующиеся температурой стеклования 16, 5, 18°C и концентрацией полимера 45, 45, 42 мас. %, соответственно.

В качестве полимерной матрицы готовили пленки и покрытия на основе водно–полимерных дисперсий, характеризующихся температурой стеклования до 25°C, и водорастворимых фталоцианинов. Использовали также микрогетерогенный латекс, синтезированный по методике затравочной эмульсионной полимеризации Ст–ММА–МА–АК.

Модификацию латексных дисперсий и полимеров осуществляли фталоцианинами при концентрации  $\sim 10^{-3}$  моль/л дисперсионной фазы.

Для характеристики морфологических и топографических особенностей наночастиц использовали следующие методы.

Для характеристики оптических свойств использовали данные люминесцентной спектроскопии [22]. Люминесценцию изучали на люминесцентном спектрометре LS55 (Perkin–Elmer), а также спектрометре Fluorolog TCSPC Horiba Emission Mono в области полос возбуждения 300...350 нм.

УФ спектры поглощения фталоцианина в водном растворе изучали с использованием электронного спектрометра Lamb32 UV/VIS (Perkin–Elmer).

Микрофотографии агрегатов фталоцианинов, локализованных в полимерных латексных пленках получены на оптическом микроскопе на отражение Olympus SZX16 (коэффициент увеличения 300, кантеливер 35 × 100  $\mu$ ).

С привлечением Раман спектроскопии изучены спектры ионного фталоцианина и модифицированных им полимерных пленок микрогетерогенного (затравочного) латекса  $A_3$  (Ст–БА–ММА–АК).

Топографию полимерной поверхности исследовали с привлечением зондового микроскопа Enviroscope (3M) с контроллером Nanoscope V.

Термическая устойчивость немодифицированного и модифицированного фталоцианином латексного полимера была исследована на воздухе при скорости 5°/мин в интервале температур от 20 до 150°C с привлечением термогравиметрического и калориметрического методов анализа фа-

зовых переходов на приборе Q600 СДТ (совмещение ТГА и ДСК).

## РЕЗУЛЬТАТЫ И ИХ ОБСУЖДЕНИЕ

На рис. 1 представлено схематическое изображение ионного ВДФ и натриевой соли медь–сульфатированного фталоцианинов, а также их спектры поглощения и флуоресценции.

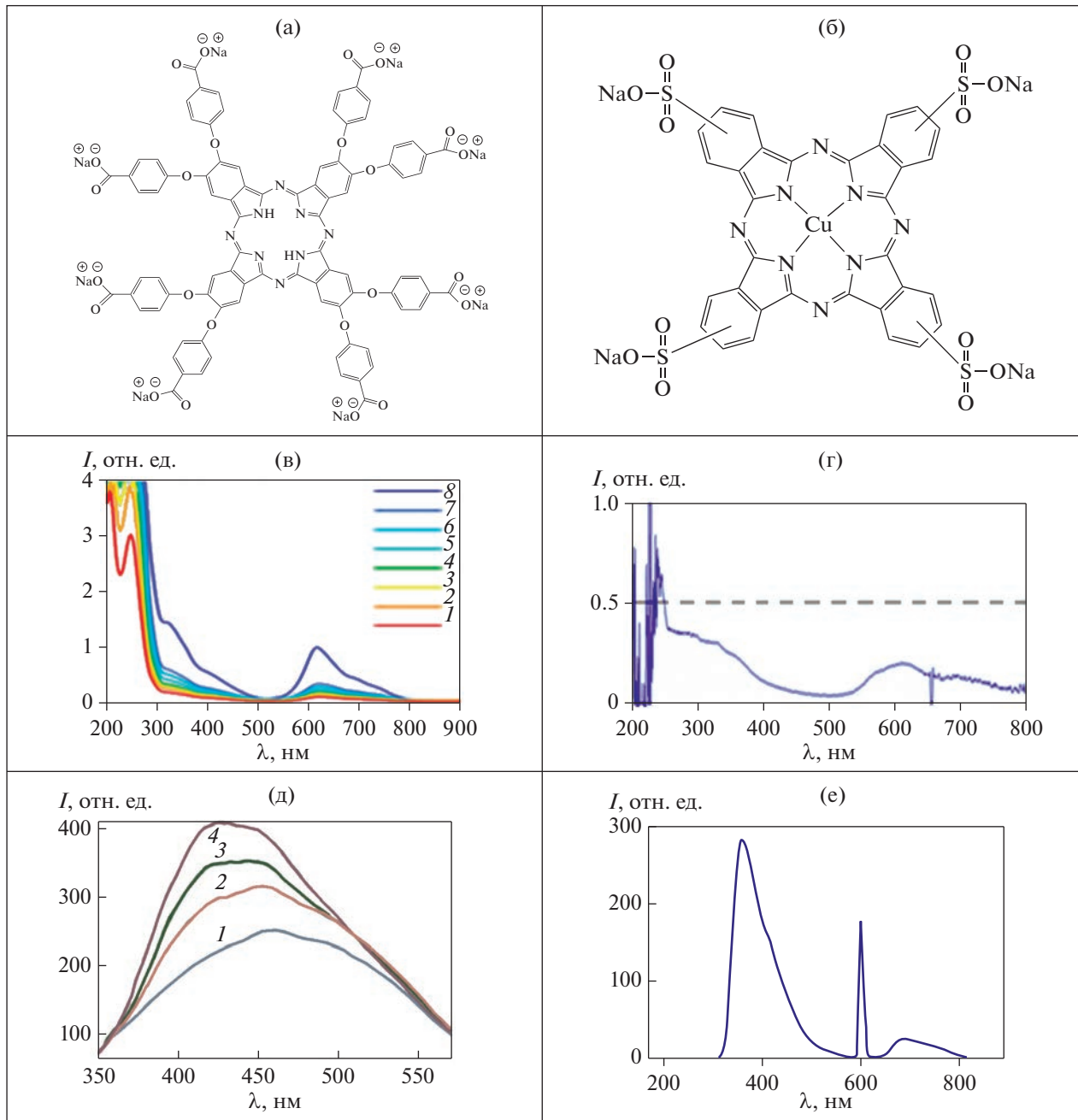
На электронных спектрах поглощения фталоцианинов в видимой области проявляется характерная для них полоса поглощения при 616 нм, которая указывает на возможность образования *H*-агрегатов.

Видно также, что фталоцианины проявляют экимерную флюоресценцию в области от 300 до 600 нм.

Сопоставление абсорбционных спектров ВДФ со спектрами ионных сульфонированных металлоксодержащих фталоцианинов, характеризующихся различными ионными группами ( $\text{SO}_3^-$  и  $\text{COO}^-$ ), представленное в работах [23, 24], указывает на то, что наиболее выраженные максимумы проявляются при 350 и 620 нм, как и в случае ВДФ.

При сопоставлении карбоксилсодержащих фталоцианинов ВДФ и Ме–Фт– $\text{COO}^-$  обнаруживается более сложная химическая структура последнего, содержащего **шестнадцать** различных функциональных групп (натрий–карбоксилатные и гидроксильные группы, соотношение которых зависит от pH водной среды [24]). Обращает внимание отличное от ВДФ положение карбоксильных групп в бензольных кольцах Ме–Фт– $\text{COO}^-$ , что может явиться причиной различия в интенсивности характерного пика абсорбции при 687 нм. В случае Ме–Фт– $\text{COO}^-$  пик хорошо выражен в отличие от ВДФ, для которого он проявляется как плечо на пике 627 нм.

Нельзя не упомянуть о влиянии pH среды на состояние карбоксилсодержащего фталоцианина Ме–Фт– $\text{COO}^-$  в воде, которое анализируется в работе [24]. Ионные натрий–карбоксилатные группы ведут к увеличению внутрикольцевого расстояния между двумя соседними макроциклами и, тем самым, значительно снижают тенденцию к агрегации и увеличивают растворимость. На это указывает его УФ–спектры в воде при pH выше 7: на них хорошо видны разрешаемые пики, приписываемые фталоцианину в мономерном состоянии, которое сопровождается двумя переходами в состояние возмущенного колебания при 613 и 650 нм. Это подтверждает его ЯМР–спектр в дегидратированной воде при pH выше 7, на котором обнаружены пики всех макроциклических протонов. Поэтому фталоцианин проявляет линию флуоресцентной эмиссии при 685 нм (возбуждение при 350



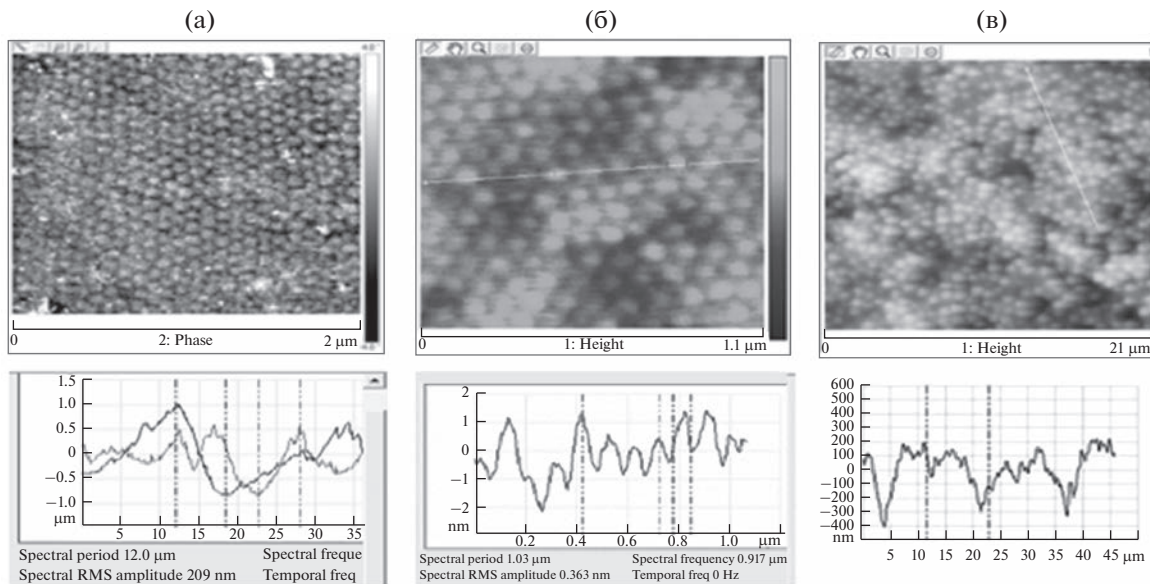
**Рис. 1.** Схематическое изображение (а) ионного фталоцианина и (б) натриевой соли медь-сульфатированного фталоцианинов, а также их УФ-спектры поглощения (в, г) и эксимерной флуоресценции водных растворов (д, е): (а) при концентрации ВДФ  $10^3$ ,  $\mu\text{M}$ : 1 – 1.5; 2 – 1.2; 3 – 1.0; 4 – 0.8; 5 – 0.6; 6 – 0.5; 7 – 0.4; 8 – 0.3. (д) при длинах возбуждения: 1 – 300, 2 – 310, 3 – 320, 4 – 330 нм.

или 610 нм), хотя флуоресценция редко наблюдаеться для фталоцианинов в водной среде [25, 26].

Различие химического строения карбоксилсодержащих фталоцианинов ВДФ и Фт-Ме-Фт-СОО<sup>-</sup> влияет на их люминесцентные свойства. Действительно, при полосе возбуждения 350 нм спектры существенно различаются. Эксимерная флуоресценция ВДФ проявляется в виде двух максимумов испускания при 416...420 и 434...446 нм,

тогда как в случае фталоцианина Ме-Фт-СОО<sup>-</sup> был обнаружен четко выраженный максимум при 350 нм, а в области 600...800 нм – два максимума при 630 и 685 нм. Максимум 685 нм авторы [23] отмечают, как линию флуоресцентной эмиссии.

Перед тем, как перейти к анализу данных по морфологииnanoструктур фталоцианинов, на рис. 2 представлены изображения и структуры



**Рис. 2.** Микроструктура и шероховатость поверхности латексных пленок, полученных с привлечением метода АСМ: (а)  $A_1$ ; (б)  $A_2$ ; (в)  $A_3$ .

исследованных латексных пленок полиакрилатов различного состава.

Видно, что для всех исследованных полимеров характерна упорядоченная гексагональная упаковка латексных частиц в полимерной пленке. Равномерное распределение фталоцианина в уже готовом гидрофобном полимере можно связать с тем, что в процессе пленкообразования его молекулы, скорее всего, локализуются в межчастичном пространстве пленок на поверхности латексных частиц. Это основывается на данных Фурье-ИК-спектроскопии о взаимодействии ионного ВДФ с поверхностью карбоксилодержащего полимера [27]. Взаимодействие фталоцианин-полимер подтверждается также данными Раман-спектроскопии (спектроскопии комбинационного рассеяния) (КР), свидетельствующими об изменении спектра полимера в его присутствии [27].

Кроме данных КР- и Фурье-ИК-спектроскопии о химическом взаимодействии фталоцианина с полимером, методом эмиссионной спектроскопии в работе [28] была показана возможность фотохимического взаимодействия эксимеробразующих центров при их внешнем возбуждении.

В работе [29] с помощью малоуглового рентгеновского рассеяния проведена оценка характера распределения ионного фталоцианина на поверхности полимерных частиц и также показано, что он локализуется в виде дискообразных образований толщиной 13–14 нм.

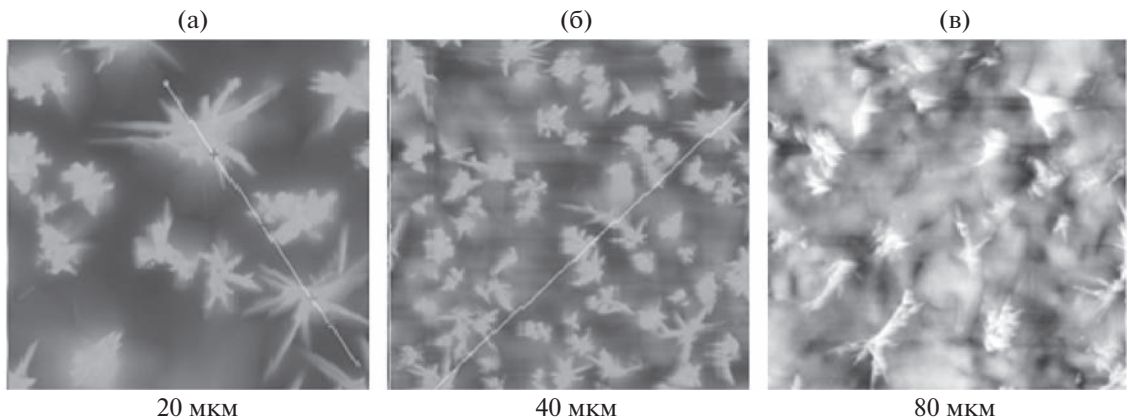
На рис. 2 приведены также данные по поверхности шероховатости немодифицированных пленок, которая свидетельствует о высокой гладкости поверхности. Шероховатость пленок со-

ставляет 1–5 нм, что обусловлено высокоэластичностью латексных полимеров. Большая шероховатость поверхности микрогетерогенного полимера, помимо более высокой температуры стеклования ( $20^{\circ}\text{C}$ ), можно связать с особенностями его получения, процесс которого является достаточно сложным и осуществляется на уже сформированных латексных частицах затравочного полимера.

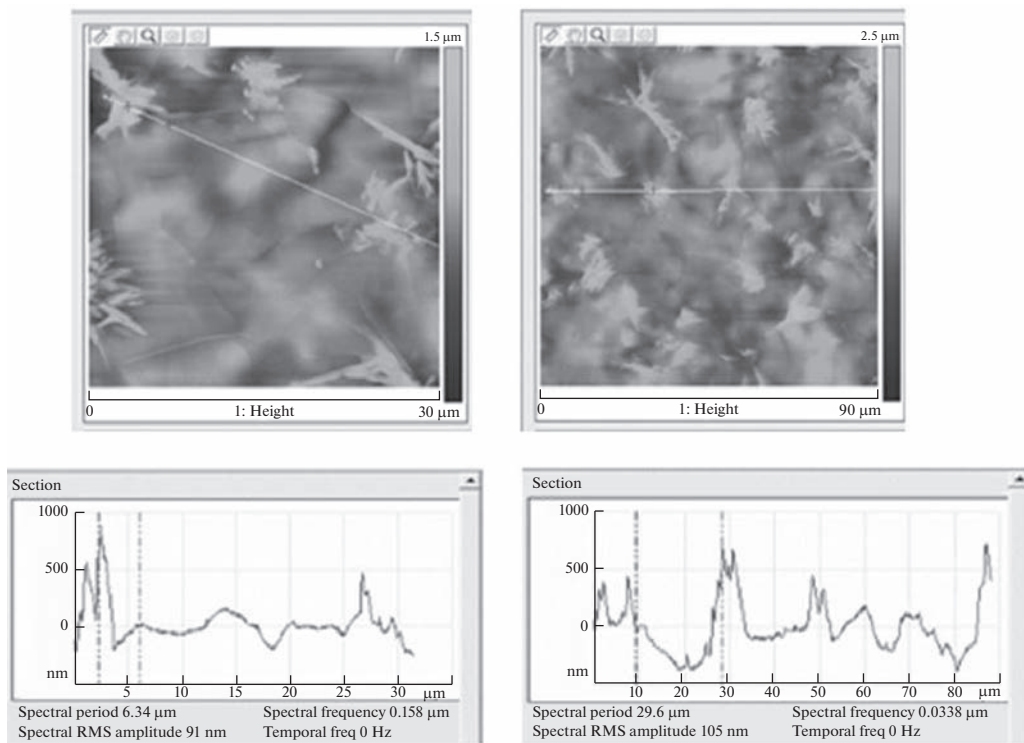
Модификация полимерных частиц фталоцианином, который локализован в межчастичном пространстве полимерной пленки, может сопровождаться тем, что его молекулы создают барьер для плотного контакта между поверхностями наночастиц. Снижение интенсивности люминесценции модифицированного полимера было обнаружено в работе [27] и связано с эффектом фталоцианина на хромофорные группы сополимера, с одной стороны, а с другой, возможностью начала агрегации молекул фталоцианина в межчастичном пространстве в пленке и ее дальнейшее развитие [26–29].

Далее была исследована морфология наноструктур фталоцианинов ВДФ, локализованных в латексных пленках, с привлечением АСМ [30]. Удалось получить микрофотографии агрегатов, которые сформированы в межчастичном пространстве трех исследованных пленок при их высыхании на воздухе (рис. 3). Видно, что их геометрические размеры, форма и строение в значительной степени определяются природой полимера.

Для сравнения с данными рис. 2б на рис. 4 представлены данные о шероховатости поверхности латексной пленки полимера  $A_2$  после его мо-



**Рис. 3.** Морфологияnanoструктуры ионного фталоцианина, локализованного в латексных полимерах: (а, б)  $A_1$  (Ст-БА-МАК); (в)  $A_2$  (БА-ММА-МАК) (по данным ACM).

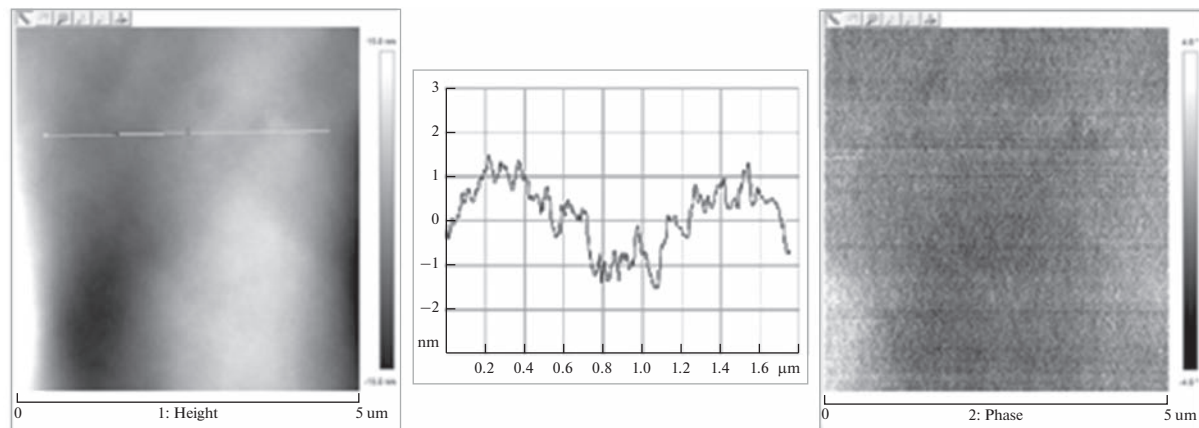


**Рис. 4.** Шероховатость поверхности пленок полимера  $A_2$  (БА-ММА-МАК) после его модификации фталоцианином ВДФ (по данным АСМ).

дификации фталоцианином ВДФ. Видно, что ее величина возрастает от ( $-...+2$  нм) до более, чем ( $-500...+500$  нм).

С целью выяснения влияния фталоцианина на протекание фазовых переходов в латексных полимерах были сняты термографические кривые изотермического превращения в их образцах  $A_1$  при различном содержании фталоцианина СиВДФ с привлечением метода термографического анализа, позволяющего определить темпе-

ратурный интервал, в котором фазовые превращения протекают наиболее интенсивно и сопровождаются тепловым эффектом. При этом фиксируется изменение массы образца в начальном состоянии, на промежуточных стадиях нагрева и ее остаточное состояние. В случае исследованных латексных пленок (рис. 2), характеризующихся наличием межчастичных областей, термограмма изотермического превращения при нагреве анализируется с позиции изменения мас-



**Рис. 5.** Микрофотография, шероховатость и топография пленки  $A_1$  после термообработки при  $60^\circ\text{C}$ .

сы образцов с ростом температуры в результате коалесценции частиц и потери “закупоренной” в этих областях воды.

На рис. 5 представлена микрофотография и топографическая картина, а также шероховатость поверхности латексного полимера  $A_1$  после термообработки при  $60^\circ\text{C}$  в течение 30 мин. При сопоставлении с данными рис. 2а видно, что термообработка полимера вызывает полную коалесценцию частиц, при которой шероховатость поверхности снижается до  $-1\dots+1$  нм.

В табл. 1 представлены данные термогравиметрии и калориметрии акрилового полимера  $A_1$ , не модифицированного и модифицированного фталоцианином СuBДF, свидетельствующие о том, что все три образца выделяют воду в результате термического воздействия

Видно, что локализованный в межчастичных областях латексной пленки фталоцианин влияет на процесс фазового перехода, имеющего место при температурах в интервале  $30^\circ$ , выше температуры стеклования полимера, при которых протекает процесс коалесценции полимерных частиц. При этом обнаруживается, что чем выше концентрация модификатора, тем больше возрастает тепловой эффект этого процесса, в результате чего общая потеря массы полимерной пленки оказывается наименьшей.

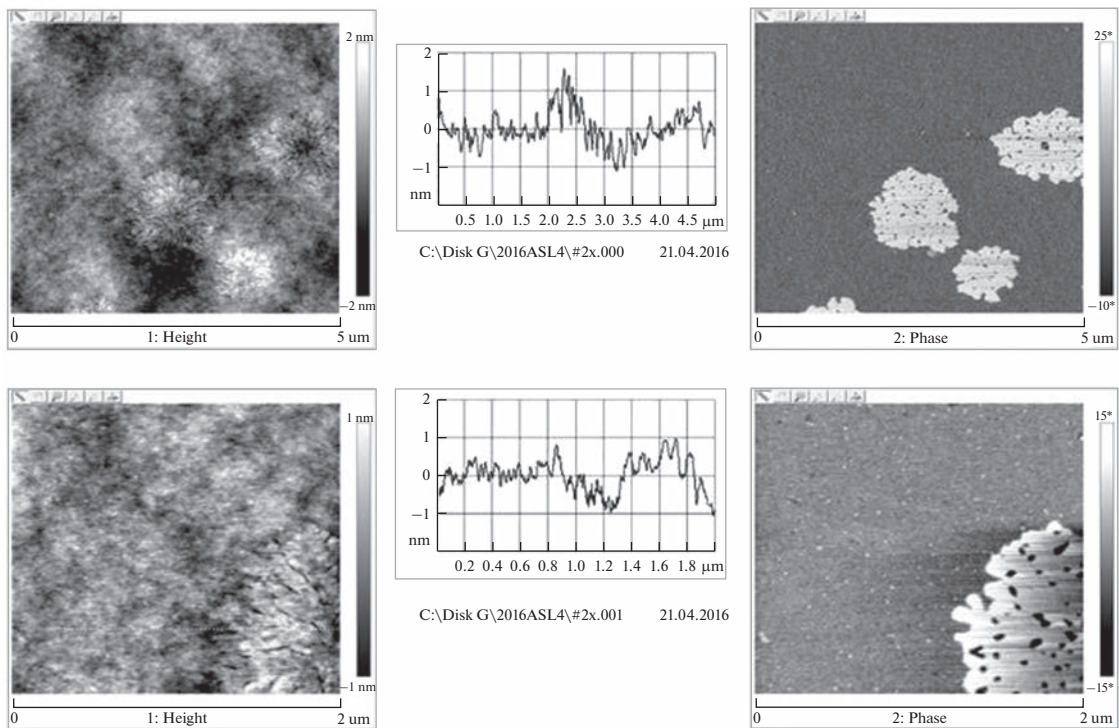
Далее изучено влияние отрицательных температур на морфологию наноструктур агрегатов исследованных фталоцианинов на примере СuBДF с привлечением метода АСМ, для чего модифицированные полимерные пленки выдерживали при температуре  $-30^\circ\text{C}$  в течение 60 мин. На рис. 6 представлены морфология наноструктур, их топография и шероховатость поверхности модифицированных полимерных пленок  $A_1$ , наблюдавшихся на различных участках и увеличением. Видно, что в отличие от рис. 3 и 4 морфология наноструктур фталоцианина, локализованного в полимерной пленке, после воздействия отрицательных температур изменяется и сопровождается агрегацией его ноначастиц. Обнаруживаемая низкая шероховатость образцов позволяет думать о размещении агрегатов в одной плоскости.

На рис. 7 представлены полученные с привлечением Раман-спектроскопии микрофотографии агрегатов ВДF разнообразных игольчатых и звездообразных форм, образованных в латексной пленке микротерогенного сopolимера  $A_3$  (Ст–БА–ММА–АК).

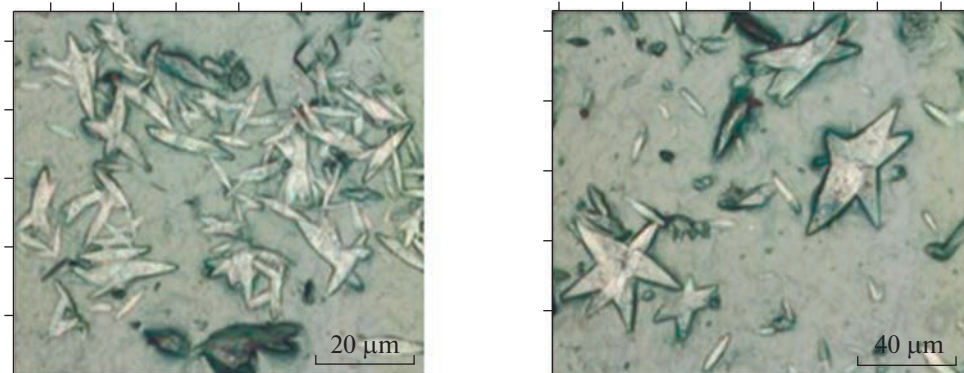
С учетом полученных и литературных данных представляется возможным соотнести максимумы, обнаруживаемые на спектрах поглощения и эксимерной флуоресценции, с различными структурными формами ВДF и его агрегатов, сформиро-

**Таблица 1.** Термография латексного полимера  $A_1$  (Ст–БА–МАК) до и после модификации фталоцианином СuBДF

Концентрация СuBДF $\times 10^3$ , моль/л	Тепловой эффект, Дж/г	$\Delta T$ ( $^\circ\text{C}$ ) реализации теплового эффекта	$T_{\max}$ ( $^\circ\text{C}$ ) в $\Delta T$	Общая потеря массы, %
0	2.171	31.56	38.74	0.68
0.05	2.662	34.03	41.03	0.60
0.10	4.217	31.38	40.24	0.45



**Рис. 6.** Морфологияnanoструктур фталоцианина, локализованного в полимере  $A_1$ , после воздействия отрицательных температур.



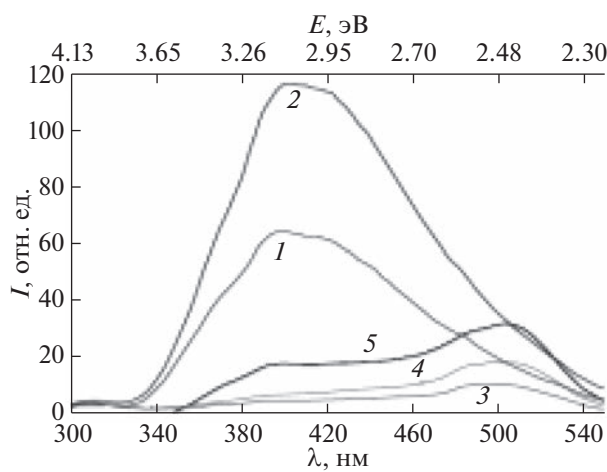
**Рис. 7.** Морфология nanoструктуры сульфатированного фталоцианина, локализованного в микрогетерогенном сополимере  $A_3$  (Ст-БА-ММА-АК); по данным Раман спектроскопии (1 деление = 1 μм; пленки на предметном стекле).

рованных еще в водной фазе, ответственными за его электронную и эмиссионную активность.

На рис. 8 представлены данные о влиянии фталоцианина на эксимерную флуоресценцию модифицированного латексного сополимера  $A_1$  (Ст-БА-МАК).

Как отмечается в работе [26, 31] в отсутствии фталоцианина флуоресценция определяется наличием флуоресцентно-образующих центров с участием полистирола, а также гексагональной упаковкой монодисперсных полимерных частиц.

Как следует из рис. 8, с введением в систему ВДФ интенсивность флуоресценции карбоксил-содержащего полимера снижается более чем в 6 раз, что, по-видимому, обусловлено его взаимодействием с ВДФ. Снижение интенсивности можно связать с нарушением сопряжения полимерных стирол-содержащих частиц или частиц в гексагональной упаковке в присутствии активного фталоцианина, с одной стороны, и с другой, со следами воды, возможно полностью не удаляющейся при высыхании пленки и вызывающей агрегацию его молекул. При этом наблюдается воз-

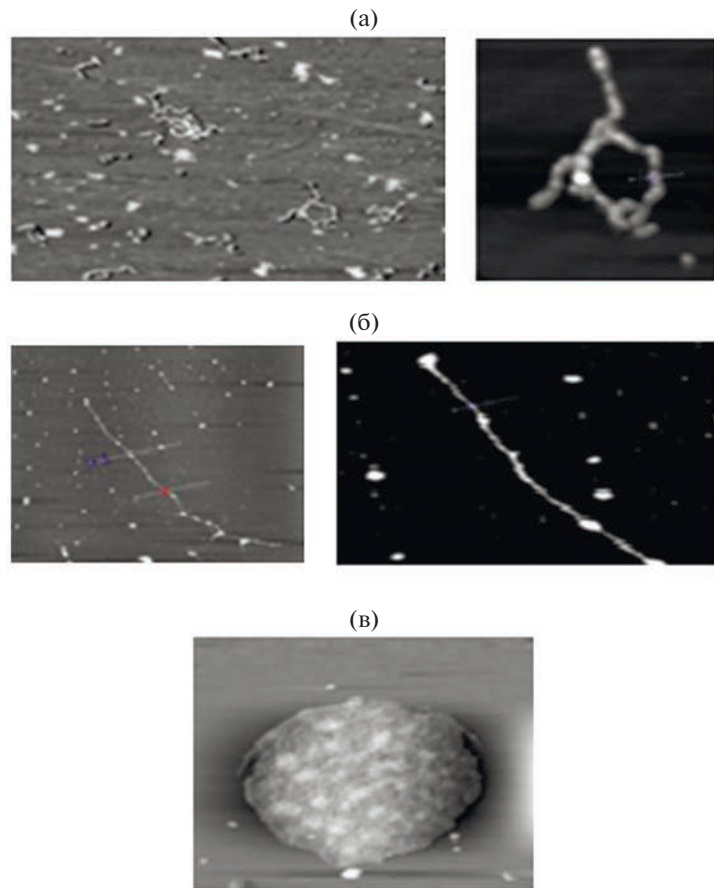


**Рис. 8.** Эксимерная флуоресценция на модифицированном и немодифицированном латексном полимере  $A_1$  (Ст–БА–МАК). Полоса возбуждения, нм: 1 – 260, 2 – 280 (без); 3 – 260, 4 – 280, 5 – 320 (с ВДФ).

можность повышения интенсивности эксимерной флуоресценции посредством увеличения интенсивности полосы возбуждения.

Неоднозначное влияние агрегатообразования на фотохимические свойства диеновых соединений, в том числе фталоцианинов, рассматривалось в работах [31], в которых сообщается о том, что оно может обуславливаться возможностью образования наноразмерных агрегатов, способных выступать в качестве центров свечения. Для выяснения этого вопроса с привлечением метода АСМ исследована морфология наноагрегатов фталоцианина ВДФ, их форма и геометрические размеры в зависимости от места, где они формируются. Проведен анализ морфологии наноструктуры агрегатов ВДФ, высаженных на поверхность слюды из свежеприготовленного водного раствора и после выдержки раствора в течение 6 месяцев.

АСМ-микроснимки наноструктур агрегатов приведены на рис. 9. Агрегация молекул фталоцианина в свежеприготовленном водном растворе (рис. 9а, 9б) имеет место и приводит к разнообразным причудливым формам и размерам, удерживающих друг с другом, по-видимому, за счет водородных связей. При расчете размера частиц по одной и двум точкам привел к размеру наночастиц от 1 до 7 нм. Вытянутые нитеобразные обра-



**Рис. 9.** Разнообразие форм наноструктуры агрегатов ВДФ после высушивания нанесенного на стекло свежеприготовленного водного раствора (а, б) и раствора длительного выдерживания (в) (по данным АСМ).

зования состоят из отдельных агрегатов, выстроенных с достаточной упорядоченностью и характеризующихся наноразмерностью. Полагаем, что именно эти агрегаты ответственны за проявление его фотохимических свойств.

Как следует из рис. 9в, длительное выдерживание фталоцианина в воде (в течение 6 мес.) сопровождается настолько сильным взаимодействием его молекул, что имеет место значительная агрегация его частиц. Конгломераты могут достигать значительных размеров (около 1  $\mu\text{M}$ , рис. 1г), по периметру которых хорошо идентифицируются мелкие частицы фталоцианина. Расчет по двум близко расположенным частицам не самых крупных конгломератов показывает размер составляет 25 нм.

Таким образом, морфология и геометрические размерыnanoструктур водорастворимых фталоцианинов разнообразны и зависят от условий и продолжительности формирования их агрегатов: в водном растворе или на подложках различной природы. Морфология nanoструктур, форма и размер nanoагрегатов фталоцианинов определяет их электронные и эмиссионные свойства и фотохимические свойства полимерных композиций с их участием.

## СПИСОК ЛИТЕРАТУРЫ

1. Третьяков Ю.Д., Гудилин Е.А. // Альтернативная энергетика и экология. 2009. № 6. С. 39–67.
2. Суздалев И.П., Максимов Ю.В., Имшенник В.К., Новичихин С.В., Матвеев В.В., Гудилин Е.А., Петрова О.В., Третьяков Ю.Д., Чуев М.А. // Российские нанотехнологии. 2009. Т. 4. № 7–8. С. 102–108.
3. Бондаренко С.А., Бондаренко Е.А., Каргин Н.И., Михнев Л.В., Климонский С.О., Третьяков Ю.Д. // Известия ВУЗов. Сев.-Кав. Регион. Серия: Естеств. Науки. 2009. № 1. С. 38–41.
4. Третьяков Ю.Д., Гудилин Е.А. // Вестник РАН. 2009. Т. 79. № 1. С. 3–10.
5. Борисенко В. Наноэлектроника: Учеб. пособие / В.Е. Борисенко, А.И. Воробьёва, А.Л. Данилюк, Е.А. Уткина. 2-е изд. М.: БИНом. Лаборатория знаний, 2013. 366 с.
6. Бабаев А.А., Саадуева А.О., Теруков Е.И., Ткачев А.Г. // Физикохимия поверхности и защита материалов. 2021. Т. 57. № 3. С. 262–276.
7. Козлов Г.В., Долбин И.В. // Физикохимия поверхности и защита материалов. 2022. Т. 58. № 5. С. 521–525.
8. Елисеева В.И. Полимерные дисперсии. М.: Химия. 1980.
9. Асламазова Т.Р. // Физикохимия поверхности и защита материалов. 2021. Т. 57. № 6. С. 640–649.
10. Асламазова Т.Р., Котенев В.А., Ломовская Н.Ю., Ломовской В.А., Цивадзе А.Ю. // Физикохимия поверхности и защита материалов. 2021. Т. 57. № 3. С. 284–294.
11. Асламазова Т.Р., Котенев В.А., Ломовская Н.Ю., Ломовской В.А., Цивадзе А.Ю. // Физикохимия поверхности и защита материалов. 2021. Т. 57. № 4. С. 417–424.
12. Лобковский. В.П. // Лакокрасочные материалы и их применение. 2011. № 5. С. 44.
13. Крылов А.В., Толмачев И.А., Васильев В.К. // Лакокрасочные материалы и их применение. 2011. № 11. С. 14.
14. Leznoff C.C., Lever A.B.P. Phthalocyanines, Properties and Applications. VCH: New York, 1989–1996. V. 1–4.
15. Kadish K.M., Smith K.M., Guilard R. The Porphyrin Handbook; Eds. Kadish K.M., Smith K.M., Guilard R. Academic Press, San Diego. 2000. V. 1–20.
16. Успехи химии порфиринов // Под ред. Голубчикова О.А. НИИ Химии СпбГУ. 1997. 1999. 2001. Т. 1–3.
17. Nyokong T. // Coordination Chemistry Reviews. 2007. V. 251. P. 1707–1722.
18. Kobayashi N. (Ed.). J-Aggregates. World Scientific. Singapore. 1996.
19. Darwent J.R., Douglas P., Harriman A. et al. // Coord. Chem. Rev. 1982. V. 44. P. 83.
20. Ogunsode A., Chen J.-Y., Nyokong T. // New J. Chem. 2004. V. 28. P. 822.
21. Rozenthal I. // Photochemistry and Photobiology. 1991. V. 53. № 6. P. 859.
22. Leznoff C.C., Lever A.B.P. Phthalocyanines, Properties and Applications; VCH: New York, 1989–1996. V. 1–4.
23. Howe L., Zhang J.Z. // J. Phys. Chem. A. 1997. V. 101. № 8. P. 3207.
24. Liu W., Jensen T.J., Fronczeck F.R. // J. Med. Chem. 2005. V. 48. P. 1033.
25. Kobayashi N. Synthesis and spectroscopic properties of phthalocyanine analogues. In Phthalocyanines: Properties and Applications; Leznoff C.C., Lever A.B.P., Eds. VCH: Weinheim. 1993. V. 2. P. 97.
26. Ferraudi G. Photochemical properties of metallophthalocyanines in homogeneous solution. In Phthalocyanines-properties and Applications; Leznoff C.C., Lever A.B.P. Eds. VCH: New York. 1989. V. 1. P. 291.
27. Асламазова Т.Р., Котенев В.А., Соколова Н.П., Цивадзе А.Ю. // Физикохимия поверхности и защита материалов. 2010. Т. 46. № 4. С. 398.
28. Асламазова Т.Р., Котенев В.А., Плачев Ю.А., Цивадзе А.Ю. // Физикохимия поверхности и защита материалов. 2012. Т. 48. № 6. С. 535.
29. Асламазова Т.Р., Котенев В.А., Ширяев А.А., Цивадзе А.Ю. // Физикохимия поверхности и защита материалов. 2013. Т. 49. № 3. С. 264.
30. Асламазова Т.Р., Золотаревский В.И., Котенев В.А., Цивадзе А.Ю. // Физикохимия поверхности и защита материалов. 2011. Т. 47. № 5. С. 468.
31. Prokhorov V.V., Pozin S.I., Lypenko D.A., Perelygina O.M., Maltsev E.I., Vannikov A.V. // Macroheterocycles. 2012. V. 5. № 4–5. P. 371.